ОРИГИНАЛЬНАЯ СТАТЬЯ

© КОЛЛЕКТИВ АВТОРОВ, 2017

УДК 616.373:578.245].03:616.921.5

Сологуб Т.В.¹, Мидикари А.С.², Агафонов В.Н.³, Суздальцев А.А.⁴, Цветков В.В.¹

ЭФФЕКТИВНОСТЬ И ЦЕЛЕСООБРАЗНОСТЬ ИСПОЛЬЗОВАНИЯ РЕКОМБИНАНТНОГО ИНТЕРФЕРОНА-ГАММА В КОМПЛЕКСНОЙ ТЕРАПИИ БОЛЬНЫХ ГРИППОМ A(H1N1)PDM09

¹ФГБУ «НИИ гриппа» Минздрава России, 197376, г. Санкт-Петербург, Россия, пр. Попова, д. 15/17;

²ФГАОУ ВО «КФУ им. В.И. Вернадского», Медицинская академия им. С.И. Георгиевского Минздрава России, 295007, г. Симферополь, Россия, бульвар Ленина, д. 5/7;

³ФГБОУ ВО «Северный государственный медицинский университет» Минздрава России, 163000, г. Архангельск, Россия, Троицкий, д. 51;

⁴ФГБОУ ВО «Самарский государственный медицинский университет» Минздрава России, 443099, г. Самара, Россия, ул. Чапаевская, д. 89

В период эпидемического подъема заболеваемости гриппом 2015-2016 гг. на базе инфекционных стационаров Симферополя, Архангельска и Самары проведено многоцентровое сравнительное исследование по оценке эффективности и экономической целесообразности двух альтернативных схем лечения больных гриппом A(H1N1)pdm09. В исследование были включены 88 больных, имеющих лабораторно-подтвержденный диагноз гриппа A(H1N1)pdm09. Пациенты основной группы (n=46) получали комплексную терапию с использованием противовирусных (осельтамивир) и иммуномодулирующих (интерферон-гамма) средств. Пациенты контрольной группы (n=40) получали только противовирусную терапию (осельтамивир). Для оценки эффективности и экономической целесообразности двух различных схем терапии проведен анализ исходов заболевания: выписка из стационара до 10 дня болезни и отсутствие симптомов заболевания к 3-6 дню лечения. Установлено, что включение рекомбинантного интерферона-гамма в схему лечения пациентов с гриппом A(H1N1)pdm09 способствует более быстрому купированию катаральных и респираторных симптомов заболевания: отсутствие сухого кашля к 3-6 дню лечения (OP=1,43,95% ДИ 0,86-2,38), ринита (OP=1,21,95% ДИ 1,05-1,40) и одышки (OP=1,28,95% ДИ 1,06-1,54). Кроме того, включение рекомбинантного интерферонагамма в схему лечения больных гриппом A(H1N1)pdm09 способствовало существенному сокращению сроков выздоровления и выписки из стационара (OP=1,39,95% ДИ 0,97-2,00). Клинико-экономический анализ применения двух альтернативных схем лечения показал, что включение рекомбинантного интерферона-гамма в терапию больных гриппом A(H1N1)pdm09 экономически целесообразно.

Ключевые слова: грипп, грипп A(H1N1)pdm09; лечение гриппа; противовирусная терапия гриппа; иммуномодулирующая терапия гриппа; интерферон-гамма, осельтамивир, Тамифлю, Ингарон.

Для цитирования: Сологуб Т.В., Мидикари А.С., Агафонов В.Н., Суздальцев А.А., Цветков В.В. Эффективность и целесообразность использования рекомбинантного интерферона гамма в комплексной терапии больных гриппом A(H1N1)pdm09. Эпидемиология и инфекционные болезни. 2017; 22 (2): 58-63. DOI: 10.17816/EID42628

Sologub T.V.¹, Midikari A.S.², Agafonov V.N.³, Suzdalcev A.A.⁴, Tsvetkov V.V.¹

EFFICIENCY AND PERFORMANCE OF THE USE OF RECOMBINANT INTERFERON GAMMA IN COMPLEX THERAPY OF INFLUENZA A(H1N1)PDM09 PATIENTS

¹Research Institute of Influenza, 15/17, Popova pr., Saint-Petersburg, 197376, Russian Federation;

²S. I. Georgievsky Medical Academy, V.I. Vernadsky Crimean Federal University, 5/7, Lenina boulevar, Simferopol, 295007, Russian Federation;

³Northern State Medical University, 51, Troitsky Ave., Arkhangelsk, 163000, Russian Federation;

⁴Samara State Medical University, Chapaevskaya, 89, Samara, 443099, Russian Federation

In the period of the epidemic rise in the incidence rate of influenza in 2015-2016 on the basis of infectious hospitals in Simferopol, Arkhangelsk and Samara, there performed a multicenter to evaluate the effectiveness and economic feasibility of two alternative treatment regimens for influenza A (H1N1) pdm09 patients. The study included 88 patients with a laboratory-confirmed diagnosis of influenza A (H1N1)pdm09. Patients of the main group (n = 46) received complex therapy with the use of antiviral (oseltamivir) and immunomodulating (interferon gamma) agents. Patients of the control group (n = 40) received only antiviral therapy (oseltamivir). To assess the effectiveness and economic feasibility of the two different treatment regimens, the outcome of the disease was analyzed: the discharge the hospital up to the 10th day of the illness and no symptoms of the disease by the 3-6th day of treatment. The supplementation of recombinant interferon gamma in the treatment regimen of influenza A (H1N1) pdm09 patients was found to promote the faster release of catarrhal and respiratory symptoms of the disease: the absence of dry cough by the 3-6th day of treatment (RR = 1.43, 95% CI: 0.86 - 2.38), rhinitis (RR 1.21, 95% CI 1.05-1.40) and dyspnea (RR = 1.28, 95% CI: 1.06-1.54). In addition, the supplementation of recombinant interferon gamma in the treatment regimen of patients with influenza A (H1N1) pdm09 promoted a significant shortening of time of the recovery and discharge from the hospital (RR = 1.39, 95% CI: 0.97 - 2.00). Clinical and economic analysis of the use of two alternative treatment regimens has shown the supplementation of recombinant interferon gamma in the therapy of influenza A (H1N1) pdm09 patients to be economically favorable

Keywords: influenza; influenza A (H1N1) pdm09; influenza treatment; antiviral flu therapy; immunomodulatory therapy for influenza; interferon gamma; Tamiflu; Ingaron.

ORIGINAL ARTICLE

For citation: Sologub T.V., Midikari A.S., Agafonov V.N., Suzdalcev A.A., Tsvetkov V.V. Efficiency and performance of use of recombinant interferon gamma in complex therapy of patients with influenza A(H1N1) pdm09. Epidemiologiya I infektsionnye bolezni (Epidemiology and infectious Diseases, Russian journal). 2017; 22(2): 58-63. (In Russ.). DOI: 10.17816/EID42628

For correspondence: *Tamara V. Sologub*, MD, PhD, Dsci., professor, adviser of the Director of the Research Institute of Influenza, 15/17, Popova pr., Saint-Petersburg, 197376, Russian Federation. E-mail: sologub@influenza.spb.ru

Information about authors:

Sologub T.V., http://orcid.org/0000-0002-5247-6372

Conflict of interest. The authors declare no conflict of interest.

Acknowledgment. The study had no sponsorship.

Received 21.03.2017

Accepted 24.03.2017

Введение

Острые респираторные вирусные инфекции (ОРВИ) – одни из самых распространенных заболеваний в мире, их вполне оправданно относят к убиквитарным болезням. Ведущее место в их структуре принадлежит гриппу, ежегодные эпидемии которого наносят огромный социально-экономический ущерб. По данным экспертов ВОЗ, от гриппа и его осложнений ежегодно в мире умирают от 200 до 500 тыс. человек, а экономические потери в год составляют 1-6 млн долларов США на 100 тыс. населения. Почти 90% населения как минимум раз в год переносят одну из респираторных вирусных инфекций. Такая высокая заболеваемость связана с урбанизацией, мощными миграционными процессами, легкостью реализации механизма передачи, а также высокой изменчивостью вирусов.

Восприимчивость к гриппу очень высокая у людей всех возрастных групп, но наибольшее количество заболеваний наблюдают у детей в возрасте 1–14 лет (37%), что в 4 раза выше, чем у пожилых (10%). Относительно редки случаи гриппа только среди детей первых месяцев жизни, которые получили пассивный иммунитет от матери; с 6 мес дети могут легко быть инфицированы вирусом гриппа. Для того чтобы произошло инфицирование, вирус гриппа должен преодолеть факторы неспецифической защиты дыхательных путей. Преодолев сопротивление ослабленных ресничек, возбудитель попадает в слизистую оболочку носоглотки, подвергается воздействию высокоактивного секрета слизистых желез, которые содержат значительное количество N-ацетилнейраминовой кислоты. Эти биологически активные вещества способны ингибировать активность вируса гриппа. Активность биологически активных веществ меняется в зависимости от времени года. Максимальную активность они проявляют в летне-осенний период, в то время как в период максимального подъема заболеваемости (зимне-весенний) содержание ингибиторов резко снижается. Именно поэтому в этот период года наблюдают сезонный подъем заболеваемости и развитие эпидемий. Следует отметить, что грипп до настоящего времени остается практически неконтролируемой и малоуправляемой инфекцией. Показатель смертности от неосложненного сезонного гриппа невысок и составляет 0,01–0,2%, однако у пациентов из групп риска (лица старше 65 лет; дети младших возрастных групп; пациенты с хронической сердечнососудистой и легочной патологией; лица, имеющие эндокринную патологию и ожирение) показатель смертности значительно выше. В России для профилактики и лечения гриппа традиционно используют индукторы и препараты интерферонов — многофункциональных белков, обладающих, в том числе неспецифической противовирусной активностью. Рекомбинантный интерферон-гамма в нашей стране представлен отечественным препаратом Ингарон [1].

Интерферон-гамма продуцируют как Т-лимфоциты (Т-хелперы 1 типа и цитолитические Т-лимфоциты), так и натуральные киллеры, В-лимфоциты, NKT-клетки, а также антигенпрезентирующие клетки: моноциты, макрофаги и дендритные клетки [2]. Секреция интерферонагамма клетками, участвующими в реализации врожденных иммунных реакций, играет важную роль на ранних этапах защиты организма от инфекции. На этапе развития адаптивного иммунного ответа главными источниками интерферонагамма в больших количествах становятся уже Т-лимфоциты [3]. В регуляции продукции интерферона-гамма принимают участие такие цитокины, как интерлейкин-12 и интерлейкин-18. Стимуляция макрофагов, натуральных киллеров и Т-лимфоцитов этими цитокинами сопровождается повышением продукции интерферона-гамма [4]. Антагонисты интерферона-гамма – интерлекин-4 и интерлейкин-10. Кроме того, негативная регуляция продукции и секреции интерферона-гамма происходит также под действием фактора некроза опухоли альфа и глюкокортикоидов [5].

Интерферон-гамма при секреции влияет как на саму секретирующую его клетку, так и на расположенные рядом клетки через соответствующие рецепторы [6]. Интерферон-гамма в активном состоянии является гомодимером, т. е. состоит из двух идентичных субъединиц. Специфичные рецепторы локализуются на поверхности большинства кле-

ОРИГИНАЛЬНАЯ СТАТЬЯ

ток организма, но экспрессия этих рецепторов варьирует в различных клетках. Рецептор также организован из двух субъединиц, поэтому образование комплекса включает димеризацию рецептора, индуцированную молекулой интерферона гамма [7]. Активированный рецептор сразу взаимодействует с транскрипционным регулятором STAT-1 и двумя типами протеинкиназ, которые являются основными в трансформации внешнего сигнала во внутриклеточный. Протеинкиназы фосфорилируют фактор STAT-1, что также приводит к его димеризации, и в такой форме он способен транспортироваться в клеточное ядро и связываться с регуляторными последовательностями генов, вовлеченных в клеточный ответ на данный стимул. Результатами активации этих генов становятся формирование клеточной защиты, например от вирусной инфекции, включение синтеза интерлейкинов и, в частности, интерлейкина-12 как важного «партнера» интерферона-гамма в противостоянии бактериальным и вирусным инфекциям. Наряду с интерлейкином-2, интерлейкином-12 и фактором некроза опухоли альфа интерферон-гамма обладает выраженным иммуномодулирующим действием, служит индуктором клеточного звена иммунитета, и его относят к основным провоспалительным цитокинам. Роль интерферона-гамма в регуляции факторов врожденного иммунного ответа - ключевая в реализации иммунной защиты организма от острых вирусных инфекций, таких как грипп и другие ОРВИ. Первые клетки иммунной системы, которые встречаются с вирусом, - альвеолярные макрофаги и дендритные клетки. Детекция молекулярных сигналов опасности способствует изменению функционального состояния этих клеток, что чрезвычайно важно для формирования очага воспаления, привлечения в очаг воспаления других иммунокомпетентных клеток, активации микробицидной активности макрофагов и регуляции последующего развития высокоспецифических иммунных реакций. Таким образом, интерферон-гамма, продуцируемый в большом количестве на этапе развития высокоспецифического иммунного ответа, может оказывать повторное стимулирующие действие на клетки, участвующие в реализации неспецифической иммунной защиты нашего организма. Так, активация антигенпрезентирующих клеток сопровождается повышением на поверхности этих клеток экспрессии адгезивных молекул (ІСАМ-1, VCAM-1) и хемокинов (IP-10,MCP-1, MIG, MIP- $1\alpha/\beta$, RANTES), что обеспечивает миграцию в очаг воспаления других иммунокомпетентных клеток. Под действием интерферона-гамма происходит созревание плазмацитоидных дендритных клеток с последующей продукцией ими большого количества интерферонов 1 типа. Еще одно очень важное биологическое свойство интерферона-гамма – на-

личие не только опосредованного, но и прямого неспецифического противовирусного действия. Известно, что некоторые вирусы гриппа способны к ингибированию как продукции, так и защитного действия интерферонов 1 типа. В связи с этим противовирусные эффекты интерферона-гамма представляют большой интерес в плане лечения и профилактики ОРВИ. Механизм противовирусного действия интерферона-гамма заключается в индукции ключевых противовирусных белков, таких как PKR, 2'-5'-олигоаденилатсинтетаза, ADAR, GBP1, GBP2. Протеинкиназа разрушает фактор инициации синтеза белка с матричной РНК, что подавляет белковый синтез. Олигоаденилатсинтетаза в свою очередь активирует эндонуклеазу, которая участвует в процессах деструкции вирусных мРНК. Роль интерферона-гамма в процессах ингибирования внедрения вируса в клетки и его «раздевания», репликации вирусных РНК и ДНК, синтеза и сборки вирусных белков была исследована на различных моделях вирусных инфекций в системах in vitro и

Цель настоящего исследования — оценка эффективности включения в схему лечения больных гриппом рекомбинантного интерферона-гамма (препарат Ингарон).

Материалы и методы

В период эпидемического подъема заболеваемости гриппом 2015–2016 гг. на базе инфекционных стационаров Симферополя, Архангельска и Самары проведено многоцентровое сравнительное исследование. Всего в исследование были включены 88 пациентов в возрасте старше 18 лет, подписавших информированное согласие и имеющих лабораторноподтвержденный диагноз гриппа A(H1N1)pdm09. Диагностику гриппа проводили методом полимерной цепной реакции в режиме реального времени с использованием комплекта реагентов по протоколу ССС (Атланта, США), а также наборов АмплиСенс Influenza virus A/H1-swine-FL (ФГУН ЦНИИЭ Роспотребнадзора). Материалом для диагностики гриппа служили назофарингеальные мазки, взятые в день поступления. Среди всех пациентов, включенных в исследование, были 47 мужчин и 41 женщина. Из данных анамнеза известно, что ни один пациент ранее не был привит против гриппа, а 21,6% пациентов (n = 19) имели сопутствующие заболевания сердечно-сосудистой системы. Абсолютное большинство больных, включенных в исследование, поступили в стационар на 3-4 день от начала болезни. У 76,1% пациентов (n = 67) заболевание началось остро с повышения температуры тела более 38°C и развития системных проявлений, таких, как боли в мышцах и суставах, головная боль и боли/дискомфорт при движении глазных яблок. Среди катаральных проявлений гриппа у

DOI: https://doi.org/10.17816/EID42628

ORIGINAL ARTICLE

большинства пациентов наблюдали наличие сухого надсадного кашля $(91,1\%,\ n=80)$, болей в горле/ царапающих болей за грудиной $(68,4\%,\ n=60)$ и ринита $(48,8\%,\ n=43)$. Реже пациенты жаловались на тошноту $(18,2\%,\ n=16)$, жидкий стул $(10,6\%,\ n=9)$ и боли в животе разлитого характера $(26,1\%,\ n=23)$. Все пациенты находились под наблюдением как минимум в течение 7 дней от момента поступления в стационар. После выписки из стационара пациентов продолжали наблюдать амбулаторно. Из 88 больных двое были исключены из исследования в связи с отзывом информированного согласия и отказом от стационарного лечения или амбулаторного наблюдения.

Для оценки эффективности включения в схему лечения рекомбинантного интерферона-гамма все пациенты случайным образом были разделены на две группы. Основную группу составили 46 больных гриппом A(H1N1)pdm09, которые получали комбинированную терапию с использованием ингибитора нейраминидазы (осельтамивир, перорально по 75 мг 2 раза в сутки в течение 5 дней) и рекомбинантного интерферона-гамма (Ингарон, интраназально по 2 капли в каждый носовой ход 5 раз в день в течение 3 дней). Средний возраст пациентов основной группы составил 38,44±12,84 лет, среднее время от начала болезни до госпитализации – 2,83±1,70 дней. В контрольную группу вошли 40 пациентов с гриппом A(H1N1)pdm09, которые получали только противовирусную терапию (осельтамивир, перорально по 75 мг 2 раза в сутки в течение 5 дней). Средний возраст пациентов контрольной группы составил 43,35±21,80 лет, среднее время от начала болезни до госпитализации – 3,25±2,07 дней. В период стационарного лечения пациентов обеих групп ежедневно наблюдал врач-инфекционист. Всем больным проводили двукратную оценку жизненно важных показателей (температура тела, частота сердечных сокращений, частота дыхательных движений и артериальное давление), а также динамическую оценку выраженности ключевых симптомов заболевания: боль и ломота в мышцах и суставах, головная боль, сухой или влажный кашель, одышка, боль в горле и ринит. При поступлении и выписке из стационара всем пациентам проводили клинический (уровень гемоглобина, количество эритроцитов, тромбоцитов и лейкоцитов, абсолютное содержание нейтрофилов и лимфоцитов, СОЭ) и биохимический (активность аланинаминотрансферазы и аспартатаминотрансферазы, общий билирубин, глюкоза, креатинин, общий белок, альбумин, С-реактивный белок) анализы крови. Для оценки эффективности и экономической целесообразности двух различных схем терапии проведен анализ исходов заболевания: выписка из стационара до 10 сут болезни и отсутствие симптомов заболевания к 3-6 сут лечения.

Математическую и статистическую обработку полученных данных проводили с использованием программной среды статистического анализа R. В качестве мер центральной тенденции рассчитывали значения среднего арифметического и медианы. В качестве мер изменчивости данных рассчитывали значения дисперсии, среднего квадратического отклонения и квартилей. Нормальность распределения количественных признаков оценивали с помощью W-критерия Шапиро-Уилка. Для оценки достоверности межгрупповых различий по количественным (метрическим) и порядковым (балльным или полуметрическим) признакам использовали параметрические (*t*-критерий Стьюдента) и непараметрические (критерий Колмогорова-Смирнова, Манна-Уитни, Уилкоксона) методы. Уровень значимости был принят α ≤ 0,05. Для оценки эффективности терапии проводили расчет показателей относительного риска (ОР) наступления благоприятного исхода в различных группах больных с расчетом 95% доверительного интервала (95% ДИ). Для оценки экономической целесообразности двух альтернативных схем лечения проведен расчет коэффициентов затратной эффективности как отношение стоимости терапии к показателю ее эффективности. В статье количественные значения приведены в виде $M\pm S$, где M- среднее значение, а S- стандартное отклонение.

Результаты и обсуждение

Сравнительный анализ динамики клинической картины заболевания показал, что у пациентов, получавших рекомбинантный интерферон-гамма, к 3–6 сут лечения было отмечено более выраженное снижение частоты выявления основных симптомов гриппа (табл. 1).

Установлено, что показатели частоты выявления таких катаральных проявлений гриппа, как сухой кашель и ринит, к 3–6 сут лечения были существенно ниже среди пациентов, получавших противовирусную терапию с включением рекомбинантного интерферона-гамма. Так, при посту-

Таблица 1 Частота выявления основных симптомов гриппа в динамике (абс./%)

Симптомы	Основная группа (n = 46)		Контрольная группа $(n = 40)$	
	1-3 день	3-6 день	1-3 день	3-6 день
Боль и ломота в мышцах и суставах	14/30,4	2/4,3	14/35,0	5/12,5
Головная боль	24/52,2	1/2,2	28/70,0	4/10,0
Сухой кашель	44/95,6	23/50,0	35/87,5	26/65,0
Одышка	14/30,4	2/4,3	14/35,0	10/25,0
Боль в горле	29/63,0	3/6,5	15/37,5	6/15,0
Ринит	10/21,7	0/0,0	12/30,0	7/17,6

ОРИГИНАЛЬНАЯ СТАТЬЯ

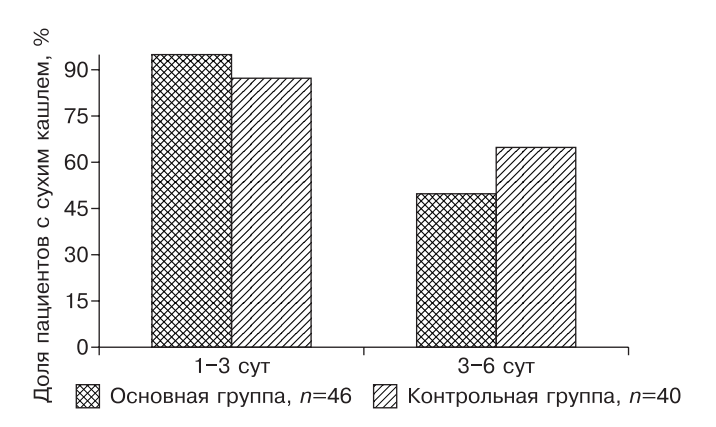


Рис. 1. Доля пациентов с сухим кашлем в различные периоды

плении в стационар сухой кашель наблюдали у 95,6% и 87,5% пациентов основной и контрольной групп соответственно. К 3–6 сут лечения лишь 50% больных основной группы продолжали предъявлять жалобы на наличие сухого кашля, в то время как среди пациентов контрольной группы наличие сухого кашля наблюдали у 65% больных (рис. 1).

Таким образом, частота наступления благоприятного исхода заболевания (отсутствие сухого кашля к 3-6 сут лечения) среди пациентов, получавших комбинированную терапию, была в 1,43 раза выше, чем среди пациентов, получавших только противовирусную терапию (ОР = 1,43, 95% ДИ 0,86-2,38). Заложенность носа при поступлении в стационар отмечена у 21,7 и 30% пациентов основной и контрольной групп соответственно. Однако уже к 3-6 сут лечения ни один больной, получавший комбинированную терапию, не предъявлял жалобы на заложенность носа, в то время как среди пациентов контрольной группы проявления ринита сохранялись у 17,6% больных (рис. 2). Частота наступления благоприятного исхода заболевания (отсутствие ринита к 3-6 сут лечения) среди пациентов основной группы была в

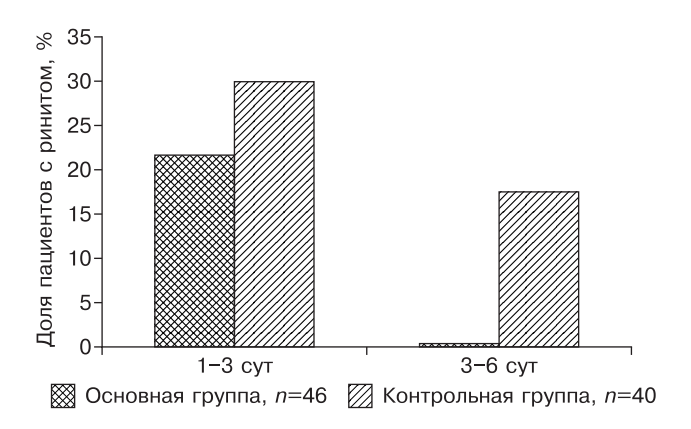


Рис. 2. Доля пациентов с ринитом в различные периоды лечения.

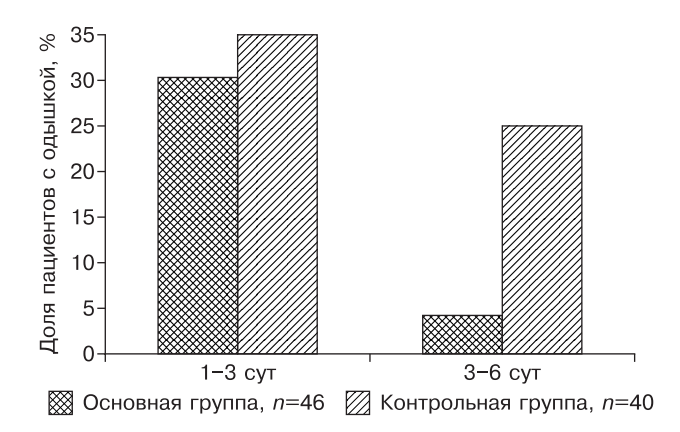


Рис. 3. Доля пациентов с одышкой в различные периоды лечения.

1,21 раза выше, чем среди пациентов контрольной группы (OP = 1,21,95% ДИ 1,05-1,40).

Одышку при поступлении в стационар наблюдали у 30,4 и 35% больных основной и контрольной групп соответственно. К 3–6 сут лечения одышка сохранялась лишь у 4,3% больных, получавших рекомбинантный интерферон-гамма, в то время как среди пациентов, получавших только противовирусную терапию, к 3–6 сут лечения одышка продолжала сохраняться у 25% больных (рис. 3). Таким образом, было установлено, что частота наступления благоприятного исхода заболевания (отсутствие одышки к 3–6 сут лечения) среди пациентов основной группы была в 1,28 раза выше, чем среди пациентов контрольной группы (OP = 1,28, 95% ДИ 1,06–1,54).

Показатели частоты наступления таких благоприятных исходов заболевания, как отсутствие симптомов интоксикации и боли в горле к 3–6 сут лечения, среди пациентов, получавших рекомби-

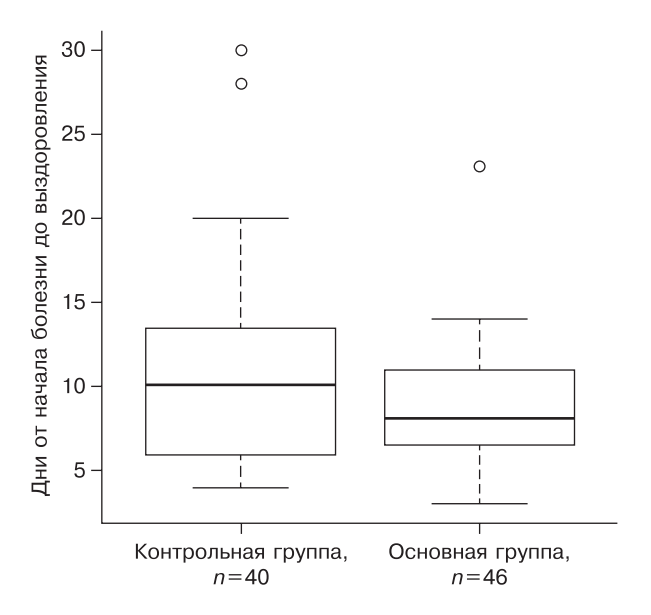


Рис. 4. Сроки выздоровления пациентов с гриппом A(H1N1).

ORIGINAL ARTICLE

Расчет коэффициентов затратной эффективности двух альтернативных схем лечения больных гриппом с учетом сроков выздоровления и выписки из стационара

Параметры	Основная группа (n = 46)	Контрольная группа ($n = 40$)		
Стоимость, руб.	851,74 (Тамифлю) + 218,16 (Ингарон) = 1069,9	851,74 (Тамифлю)		
Доля пациентов, выписанных до 10 дня болезни, $\%$	0,70	0,50		
Коэффициент за- тратной эффектив- ности, руб./ед.	1528,43	1703,48		

Таблица 3

Таблица 2

Расчет коэффициентов затратной эффективности двух альтернативных схем лечения больных гриппом с учетом купирования катаральных симптомов заболевания

Параметры	Основная группа (n = 46)	Контрольная группа ($n = 40$)
Стоимость, руб.	851,74 (Тамифлю) + 218,16 (Ингарон) = 1069,9	851,74 (Тамифлю)
Доля пациентов, не имеющих сухого кашля к 3–6 дню лечения, %	0,50	0,35
Коэффициент затратной эффективности, руб./ед.	2139,80	2433,54

нантный интерферон-гамма, были сопоставимы с аналогичными показателями в контрольной группе. Однако включение препарата Ингарон в схему лечения больных гриппом A(H1N1)pdm09 способствовало существенному сокращению сроков выздоровления (рис. 4). Так, частота наступления благоприятного исхода заболевания (выздоровление до 10 сут болезни) среди пациентов основной группы была в 1,39 раза выше, чем среди пациентов контрольной группы (OP = 1,39,95% ДИ 0,97-2,00).

Клинико-экономический анализ применения двух альтернативных схем лечения показал, что включение препарата Ингарон в терапию больных гриппом A(H1N1)pdm09 экономически целесообразен. Комплексная противовирусная и иммуномодулирующая терапия больных гриппом была несколько дороже, однако и более эффективной, чем только лишь противовирусная терапия. Так, при оценке сроков выздоровления пациентов коэффициент затратной эффективности в группе больных, получавших комплексную терапию, составил 1528,43, что было в 1,12 раз меньше, чем в контрольной группе (табл. 2).

При оценке показателей частоты достижения благоприятного исхода (отсутствие сухого кашля к 3-6 сут лечения) коэффициент затратной эффективности составил 2139,80 и 2433,54 в основной и контрольной группах соответственно (табл. 3).

Выводы

Грипп A(H1N1)pdm09 характеризуется острым началом заболевания, повышением температуры тела более 38°C и наличием выраженных симптомов интоксикации (общая слабость, головная боль, мышечные и суставные боли, боли в области глазных яблок).

Терапия больных гриппа должна быть комплексной и включать как препараты прямого противовирусного действия, так и иммуномодулирующие средства, в частности рекомбинантный интерферон-гамма.

Включение терапию рекомбинантного интерферона-гамма (препарат Ингарон) способствует более быстрому купированию катаральных и респираторных симптомов заболевания. Так, частота исчезновения одышки у лиц, получавших препарат Ингарон, к 3-6-м суткам лечения была в 1,28 раза выше, чем у больных, получавших только препарат осельтамивир.

Включение в терапию препарата Ингарон способствует более быстрому выздоровлению и сокращению сроков госпитализации. Частота наступления благоприятного исхода заболевания (выздоровление до 10 сут болезни) среди пациентов, получавших препарат Ингарон, была в 1,39 раз выше, чем среди больных, получавших только препарат осельтамивир.

Таким образом, включение препарата Ингарон в комплексную терапию больных гриппом A(H1N1) pdm09 экономически целесообразно.

Финансирование. Исследование не имело спонсорской поддержки.

Конфликт интересов. Авторы заявляют об отсутствии конфликта интересов.

ЛИТЕРАТУРА/ REFERENCES

- 1. Subramaniam P.S., Torres B.A., Johnson H.M. So many ligands, so few transcription factors: a new paradigm for signaling through the STAT transcription factors. Cytokine. 2001; 15: 175–87.
- 2. Frucht D.M., Fukao T., Boqdan C., Schindler H., O'shea J.J. et al. IFN-gamma production by antigen-presenting cells: mechanisms emerge. Trends Immunol. 2001; 22: 556-60.
- 3. Adams D.O. Molecular interactions in macrophage activation. Trends Immunol. 1989; 10: 33-5.
- 4. Munder M., Mallo M., Eichmann K., Modolell M. Murine macrophages secrete interferon gamma upon combined stimulation with interleukin (IL)-12 and IL-18: a novel pathway of autocrine macrophage activation. J. Exp. Med. 1998; 187: 2103-8.
- 5. Sen G.C. Viruses and interferons. Annu. Rev. Microbiol. 2001; 55: 255-81
- 6. Young H.A., Hardy K.J. Role of interferon-gamma in immune cell regulation. J. Leukoc. Biol. 1995; 58: 373-81.
- 7. Bach E.A., Aguet M., Schreiber R.D. The IFN gamma receptor: a paradigm for cytokine receptor signaling. Annu. Rev. Immunol. 1997; 15: 563-91.
- 8. Bot A., Bot S., Bona C.A. Protective role of gamma interferon during the recall response to influenza virus. J. Virol. 1998; 72 (8): 6637-45.

Поступила 21.03.2017 Принята в печать 24.03.2017